

کاربرد الگوریتم ژنتیک در طراحی و بهینه‌یابی پارامترهای کنترل کننده

فازی تناسبی - مشتقی (جهت تنظیم سوخت موتور توربوجت)

مرتضی منظری^۱، احسان محمدی^۲

دانشکده مهندسی مکانیک، دانشگاه علم و صنعت

دریافت مقاله: ۱۳۹۲/۰۳/۰۸

پذیرش مقاله: ۱۳۹۲/۰۸/۰۹

چکیده

در این مقاله با به کارگیری الگوریتم ژنتیک، به طراحی و بهینه‌یابی کنترل کننده فازی تنااسبی - مشتقی جهت تنظیم سوخت موتور توربوجت پرداخته شده است. در ابتدا با برهه‌گیری از روش مدل‌سازی وینر^۱ مدلی با ساختار بلوکی جهت شبیه‌سازی عملکرد موتور توربوجت پیشنهاد شده است که این نوع مدل سازی برای اهدافی نظیر طراحی کنترل کننده مناسب می‌باشد. در ادامه با توجه به رفتار غیرخطی موتور، کنترل کننده فازی اولیه‌ای که قواعد و پارامترهای آن بر اساس اطلاعات تجربی و شناخت قبلی از رفتار موتور تنظیم شده است، طراحی گردید. در پایان با به کارگیری الگوریتم ژنتیک، قواعد و پارامترهای کنترل کننده فازی اولیه با هدف کاهش میزان مصرف سوخت و همچنین بهبود رفتار سیستم در مود کنترلی گذرا بهینه گردید. نتایج شبیه‌سازی نشان می‌دهد که کنترل کننده طراحی شده علاوه بر کاهش میزان مصرف سوخت، قادر است پاسخ زمانی و مشخصه‌های عملکردی سیستم نظیر خطای حالت ماندگار، فرآجेश و زمان خیزش را به طور قابل ملاحظه‌ای بهبود بخشد.

کلید واژه

کنترل کننده سوخت، منطق فازی، موتور توربوجت، الگوریتم ژنتیک، مدل وینر.

مقدمه

استال [۱]. به منظور طراحی سیستم کنترل موتور توربین گاز هوایی، از متغیرهای کنترلی متعددی می‌توان بهره جست، اما در این میان دبی سوخت ورودی به محفظه احتراق، به دلیل تاثیرگذاری قابل توجه آن بر تمامی پارامترهای عملکردی موتور نظیر دور روتور، نسبت فشار کمپرسور، مصرف سوخت ویژه، تراست و دمای ورود به توربین گزینه‌ای مناسب محسوب می‌شود [۱]. با توجه به اهمیت روزافزون توربین‌های گازی در صنایع مختلف به ویژه صنعت هوا فضا و همچنین ضرورت طراحی یک سیستم کنترل مناسب برای موتورهای توربین گازی به عنوان قلب تپنده این صنعت، در سال‌های گذشته تحقیقات گسترده‌ای در این زمینه صورت گرفته است. زیلوچیان و همکارانش [۲] به طراحی و ارزیابی دو نوع کنترل کننده فازی با هدف کنترل فشار در محفظه احتراق پرداختند. کنترل کننده نوع اول بر اساس تنظیم توابع عضویت و قواعد فازی (مبتنی بر آزمون و خطای) و کنترل کننده نوع دوم بر اساس نوعی روش هندسی، طراحی شده است. در نهایت هر دو نوع کنترل کننده با مدل غیرخطی موتور آزمایش شده و نتایج آن با نتایج

اغلب هوایمایهای جدید امروزی جهت تولید نیروی پیشرانش مورد نیاز خود، از موتورهای توربین گازی استفاده می‌نمایند. پیش‌بینی رفتار دینامیکی موتور که هم برای طراحی اجزای موتور و هم برای طراحی سیستم کنترل آن ضروری می‌باشد، نیازمند شناختی مناسب از عملکرد موتور در حالت‌های پایا و گذرا است. بنابراین لازمه طراحی سیستم کنترل برای موتور، مدل سازی و شبیه‌سازی آن می‌باشد. مهم‌ترین وظایف سیستم‌های کنترل در موتورهای توربین گاز را می‌توان به چهار دسته تقسیم نمود: ۱) تامین تراست پایدار؛ ۲) حفظ ثبات در برخی از پارامترهای عملکردی موتور نظیر سرعت روتور، دما و فشار داخلی موتور و همچنین نگهداری آن‌ها در محدوده عملکردی ایمن؛ ۳) فراهم آوردن عملکردی ملایم^۳ در مود گذرا؛ ۴) ممانعت از وقوع تغییرات ناگهانی فشار، سرعت و دما و همچنین جلوگیری از بروز پدیده‌های زیانباری مانند سرج و

۱. استاد، ir.montazeri@iust.ac.ir

۲. دانشجوی دکتری، Ehs_Mohammadi@iust.ac.ir (نویسنده مخاطب)

بر طرف شده است [۵-۹]. به گونه‌ای که امروزه می‌توان با بهره‌گیری از روش‌های مذکور پارامترها و قواعد کنترلهای فازی را به گونه‌ای تنظیم نمود که هدف طراح از سیستم کنترل را به خوبی برآورده سازد.

در این مقاله، از الگوریتم رنگی که ابزاری قدرتمند در بهینه‌یابی سراسری بوده و توانایی کاوش در فضاهای جستجوی وسیع (با ابعاد بالا) را دارد، برای تنظیم پارامترهای کنترل فازی تنسی-مشتقی^۹ با هدف به کارگیری در سیستم کنترل سوخت موتور توربوجت استفاده شده است. لازم به ذکر است که در این مقاله، استراتژی به کارگرفته شده برای بهینه‌یابی پارامترهای قواعد و داده‌ها و همچنین نحوه کدگذاری این پارامترها از جمله عوامل موثر بر بهبود پاسخ‌های حاصل شده، می‌باشد. به طور کلی مباحث ارائه شده در این مقاله را می‌توان به سه بخش تقسیم نمود. در بخش نخست با به کارگیری روش مدل‌سازی وینر، مدلی با ساختار بلوکی به منظور شبیه‌سازی عملکرد موتور توربوجت پیشنهاد شده است و نتایج حاصل از شبیه‌سازی این مدل با نتایج بدست آمده از تست موتور مقایسه شده است. در بخش دوم بر مبنای تلفیقی از روش آزمون و خطا (برای تعیین پارامترهای پایگاه داده‌ها) و تجربیات و مشاهدات پیشین از رفتار موتور (به منظور تعیین قواعد فازی)، کنترل فازی اولیه‌ای طراحی گردید که از آن به عنوان جمعیت اولیه در الگوریتم رنگی استفاده شد. در بخش سوم با به کارگیری الگوریتم رنگی، قواعد و پارامترهای کنترل فازی اولیه با هدف کاهش میزان مصرف سوخت و همچنین بهبود رفتار سیستم در مورد کنترلی گذرا بهینه گردید.

مدل سازی و شبیه‌سازی عملکرد موتور توربوجت

به طور کلی موتورهای توربین گاز، موتورهای پیچیده، غیر خطی و متغیر با زمان بوده که پارامترهای آن با تغییر شرایط کاری دائمًا در حال تغییر می‌باشند. از چند دهه قبل تا به حال، مدل‌های سیاری جهت شبیه سازی رفتار موتور توربوجت ارائه شده است، که تعدادی در حوزه فرکانس و تعدادی در حوزه زمان بوده است. در سال‌های اولیه، از مدل‌هایی خطی و مرتبه اول که ارتباط میان دبی سوخت ورودی و سرعت دورانی رotor را برقرار می‌نمود، برای شبیه‌سازی رفتار موتور استفاده می‌شده است. با گذشت زمان و به منظور افزایش انعطاف‌پذیری مدل‌های طراحی شده و تامین نیازهای بیشتر، توجه محققان به سوی مدل‌های غیرخطی و پیچیده‌تر جلب شد. این مدل‌های ترمودینامیکی که با در نظر گرفتن معادلات دینامیکی و ترمودینامیکی حاکم بر اجزاء موتور و هماهنگی اجزاء

کنترل کننده تنسی-انتگرالی^۳ نیز مقایسه گردیده است. همچنین در مطالعه‌ای دیگر واتانابه^۴ و همکارانش [۳]، به طراحی و تست یک کنترل کننده فازی بر روی موتور توربوجت 30-SR پرداختند. در این تحقیق با به کارگیری روش پاسخ فرکانسی،تابع تبدیل سیستم تعیین شده و عملکرد موتور در حضور یک کنترل کننده فازی و یک کنترل کننده تنسی-انتگرالی-مشتقی^۵ مورد ارزیابی قرار گرفته است. در این مطالعه، ورودی سیستم کنترلی، تراست مطلوب و متغیر کنترلی، دبی سوخت در نظر گرفته شده است. لازم به ذکر است که پارامترهای کنترل کننده فازی طراحی شده توسط واتانابه بر مبنای آزمون و خطا تنظیم شده است.

جی^۶ و همکارانش [۴] نیز به منظور قرارگیری نقاط عملکردی موتور ماین خطوط سرج و خنگی شعله^۶ در حین عملکرد گذرا موتور، به طراحی یک کنترل کننده فازی تنسی-انتگرالی برای موتور توربوجت یک هوایپمای بدون سرنشین پرداختند. ورودی‌های کنترل فازی ارائه شده توسط این محققان، خطای لگاریتمی شتاب و خطای نسبت فشار کمپرسور و خروجی آن پارامتر وزن بهره بود که خروجی این کنترل فازی، وظیفه تعیین پارامترهای یک کنترل کننده تنسی-انتگرالی کلاسیک را برعهده داشت.

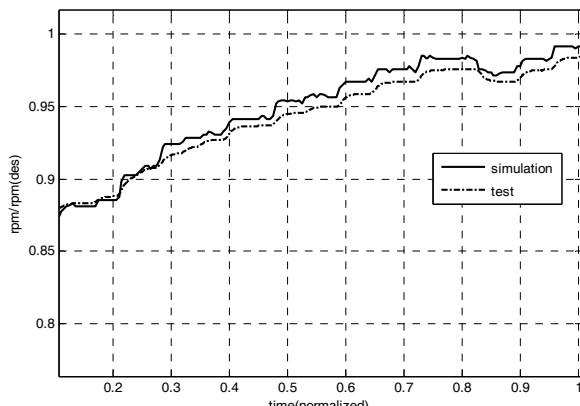
به طور کلی روش‌های متعددی برای طراحی سیستم کنترل سوخت موتورهای توربین گاز وجود دارد که می‌توان آنها را به دو دسته خطی و غیرخطی تقسیم نمود. بدیهی است که با توجه به طبیعت غیرخطی موتورهای توربین گازی، به کارگیری روش‌های کنترلی غیرخطی می‌تواند نتایج دقیق تری نسبت به روش‌های خطی در پی داشته باشد. در میان روش‌های غیرخطی مرسوم، روش کنترل فازی به دلیل برخورداری از انعطاف‌پذیری بالا (به دلیل کثیر پارامترهای آن) و همچنین عدم نیاز به مدلی دقیق و پیچیده از سیستم مورد مطالعه، گزینه مناسبی محسوب می‌شود. اما بدیهی است که یافتن توابع عضویت و قواعدی که بتواند عملکرد سیستم را بهینه نماید، نیازمند زمان، تجربه و مهارت در فرایند میزان سازی^۷ می‌باشد. به عبارت دیگر، کثیر پارامترهای یک کنترل فازی (که از نقاط قوت این نوع کنترلر به حساب می‌آید) در صورت عدم به کارگیری از روشی کارا و قابل اطمینان برای تنظیم پارامترهای این نوع کنترلر، به نقطه ضعف آن بدل می‌شود.

در سال‌های اخیر با بهره‌گیری از روش‌های نوین رایانش نرم^۸ مانند «الگوریتم رنگی» با قابلیت جستجوی قدرتمند در فضاهای پیچیده، وسیع و نامنظم و همچنین «شبکه عصبی مصنوعی» به عنوان الگوریتمی با توانایی بالا در یادگیری، این مشکل تا حد زیادی

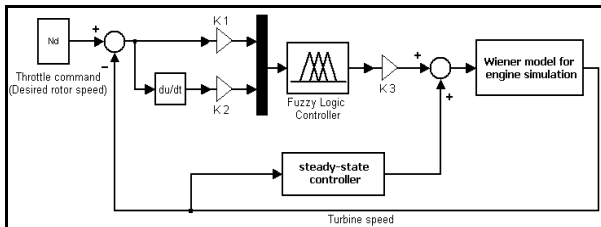
تغییرات سرعت روتور توربین را با به کارگیری مدل وینر و نتایج تست موتور مشاهده نمود. مقایسه نتایج، حاکی از اختلاف اندک و قابل اغماض میان آن دو می‌باشد. بنابراین مدل پیشنهاد شده علاوه بر فراهم آوردن دقیق قبول، می‌تواند به طور چشمگیری زمان مورد نیاز برای شبیه‌سازی را نیز کاهش دهد.

طراحی کنترل کننده فازی سوخت

لازمه طراحی یک سیستم فازی مطلوب، تعریف توابع عضویت و قواعد فازی مناسب است که این امر نیاز به شناخت صحیح و دقیق از فیزیک سیستم مورد مطالعه، تجربیات و مشاهدات قبلی دارد. همان‌گونه که پیش‌تر بیان شد، به منظور طراحی سیستم کنترل موتور توربوجت، معمولاً از دبی سوخت ورودی به محفظه احتراق به دلیل فراگیر بودن آن، به عنوان متغیر کنترلی استفاده می‌شود [۱۲]. به همین منظور دبی سوخت به دو بخش پایا و گذرآ تقسیم شده است. دبی سوخت پایا با به کارگیری یک جدول مراجعه که ارتباط میان دور خواسته شده توسط فرمان تراول و میزان دبی سوخت پایای منطبق بر نقطه تعادل جدید را برقرار می‌کند، حاصل می‌گردد.



شکل ۲. تغییرات سرعت روتور توربین بر حسب زمان - مقایسه نتایج تست موتور و مدل وینر.



شکل ۳. نحوه قرارگیری کنترلر پایا و گذرآ در مدار کنترلی حلقه بسته موتور.

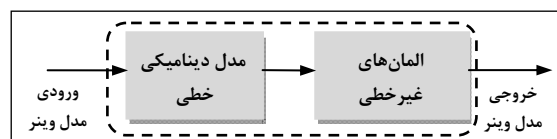
برای تعیین دبی سوخت گذرآ از یک کنترلر فازی تناسبی مشتقی که یکی از ورودی‌های آن خطای سرعت روتور (اختلاف

از نظر کار و جریان در حالت‌های پایا و گذرآ، حاصل شده بودند، قادر به پیش‌بینی تغییرات دینامیکی ناشی از تغییرات شرایط کاری در محدوده کامل عملکردی موتور بودند.

اگرچه با پیشرفت این مدل‌ها و افزایش پیچیدگی آنها، تاثیرات فیزیکی حاکم بر عملکرد موتور به گونه‌ای دقیق‌تر در نظر گرفته می‌شد، اما همواره نیاز به مدلی ساده با دقیقی قابل قبول که علاوه بر افزایش سرعت شبیه‌سازی به اعمال تغییر در پارامترهای مدل توسط طراح سهولت بیخشد، احساس می‌شد.

سیستم‌های با ساختار بلوکی، سیستم‌هایی هستند که می‌توان آنها را به صورت ترکیبی از مدل‌های دینامیکی خطی و عناصر غیرخطی استاتیکی بیان نمود (شکل ۱). در این مقاله با به کارگیری روش مدل‌سازی وینر، مدلی با ساختار بلوکی جهت شبیه‌سازی عملکرد موتور توربوجت پیشنهاد شده است. برخلاف سایر سیستم‌های دارای ساختار بلوکی، آنچه که باعث بروز رفتار غیرخطی در این مدل می‌شود، تغییرات مشخصه‌های استاتیکی و دینامیکی سیستم به ازای تغییرات ورودی می‌باشد [۱۰].

همان‌گونه که پیش‌تر نیز بیان شد، این مدل از ترکیب یک بخش دینامیکی خطی و یک بخش استاتیکی غیرخطی به صورت سری حاصل شده است. بخش دینامیکی این مدل شامل تابع تبدیل مرتبه اولی است که ثابت زمانی آن نسبت معکوس با سرعت تعادلی روتور توربین دارد. به منظور تعیین ثابت زمانی سیستم باید اطلاعاتی در مورد برخی از مشخصه‌های حالت پایای موتور در اختیار داشت که این مشخصه‌ها عبارتند از:

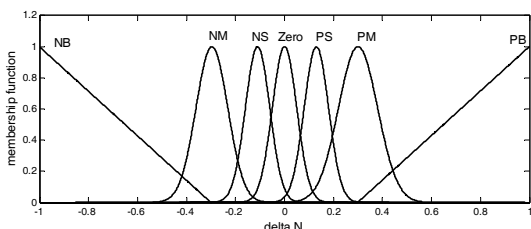


شکل ۱. ساختار مدل وینر.

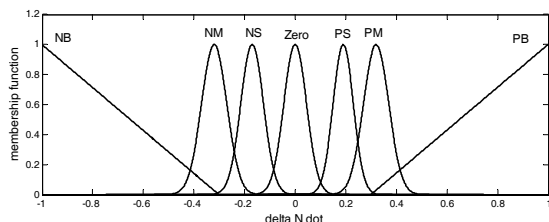
(۱) دبی هوای ورودی و میزان افزایش دما در کمپرسور در یکی از نقاط عملکردی پایا؛ (۲) ممان اینرسی روتور. شایان ذکر است که روش به کار رفته در تعیین ثابت زمانی سیستم، بر مبنای تقریبی از گشتاور گذراخای توربین و کمپرسور استوار است [۱۱].

بخش استاتیکی غیرخطی این مدل از دو جدول مراجعه ^{۱۰} که ارتباط میان دبی سوخت ورودی به محفظه احتراق را با سرعت روتور و نسبت فشار کمپرسور برقرار می‌نمایند، تشکیل شده است. لازم به ذکر است که جداول مراجعه مذکور از نتایج تست موتور حاصل شده‌اند (این داده‌ها مربوط به نتایج تست یک موتور توربوجت تک محوره بوده و مراحل تست و داده برداری توسط نویسنده‌گان این مقاله انجام شده است). در شکل (۲) می‌توان

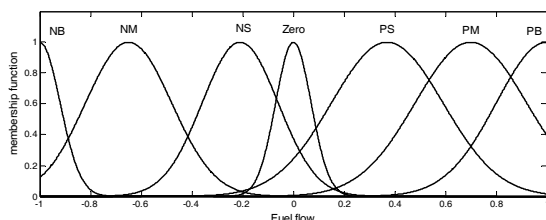
اول میان کنترلر و مدل موتور، تاثیر تاخیر زمانی سیستم سوخت رسانی در پاسخ مدل در نظر گرفته شده است.



شکل ۴. توابع عضویت برای ورودی اول کنترل فازی اولیه (ΔN).



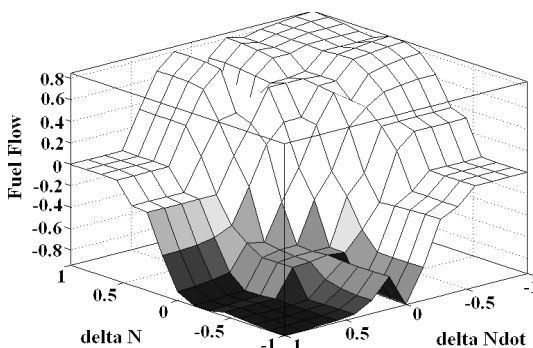
شکل ۵. توابع عضویت برای ورودی دوم کنترل فازی اولیه ($\Delta \dot{N}$).



شکل ۶. توابع عضویت برای خروجی کنترل فازی اولیه (m_f)

جدول ۱. جدول قواعد کنترل کننده فازی اولیه

$\Delta N \backslash \Delta \dot{N}$	Z	PS	PM	PB	NS	NM	NB
Z	Z	PS	PS	Z	NS	NS	NS
PS	NS	Z	PS	PS	NM	NM	NM
PM	NM	NS	Z	PM	NM	NM	NB
PB	NB	NM	NS	Z	NB	NB	NB
NS	PS	PS	PM	PM	Z	NS	NM
NM	PM	PM	PM	PB	PS	Z	NS
NB	PB	PB	PB	PB	PM	PS	Z



شکل ۷. تغییرات دبی سوخت گذرا بر حسب خطای سرعت روتور و مشتق آن (کنترل فازی اولیه)

دور خواسته شده توسط فرمان تراول و دور واقعی) و ورودی دیگر مشتق آن می‌باشد، استفاده شده است. دبی سوخت ورودی به محفظه احتراق از مجموع دبی سوخت پایا و گذرا حاصل می‌گردد. استراتژی کنترلی موتور و نحوه قرارگیری کنترلر فازی در مدار کنترلی حلقه بسته، در شکل (۳) نشان داده شده است.

برای ورودی‌ها و خروجی‌های یک سیستم کنترل فازی توابع عضویت مختلفی را می‌توان در نظر گرفت که با تغییر نوع و تعداد آنها می‌توان به پاسخ‌های متفاوتی از عملکرد سیستم دست یافت. در تعریف این توابع برای هر متغیر، محدوده تغییرات متغیرهای ورودی و خروجی در بازه [۱-۱] در نظر گرفته شده است. در طراحی کنترلرهای فازی معمولاً از توابع عضویت مثلثی و گوسین برای متغیرهای ورودی و خروجی استفاده می‌شود. همان‌گونه که می‌دانیم برای تعریف هر تابع عضویت از نوع مثلثی به سه پارامتر (سه راس مثلث) و از نوع گوسین به دو پارامتر (مقادیر واریانس و میانگین هر تابع عضویت) نیاز است. با توجه به اینکه هدف نهایی این مقاله بهینه‌یابی پارامترهای کنترل فازی اولیه با به کارگیری یک الگوریتم بهینه‌یابی مبتنی بر جمعیت می‌باشد، بنابراین باید به منظور کاهش وسعت فضای جستجو تا حد امکان تعداد متغیرهای بهینه‌یابی را کاهش داد. به همین جهت برای ورودی‌ها و خروجی کنترلر فازی از توابع عضویت گوسین (که دارای پارامترهای قابل تنظیم کمتری در مقایسه با نوع مثلثی می‌باشد) استفاده شده است. هر کدام از ورودی‌ها و خروجی کنترلر دارای ۷ متغیر زبانی می‌باشد که به صورت زیر تعریف می‌شوند:

NB: Negative Big	PS: Positive Small
NM: Negative Medium	PM: Positive Medium
NS: Negative Small	PB: Positive Big
Zero: Zero	

در شکل‌های (۴-۶) توابع عضویت ورودی‌ها و خروجی کنترل فازی اولیه نشان داده شده است. در جدول (۱) قواعد تعریف شده برای کنترل فازی اولیه مشاهده می‌شود که تعداد این قواعد با توجه به تعداد توابع عضویت متغیرهای ورودی و خروجی ۴۹ قاعدة می‌باشد. شکل (۷) منحنی تغییرات دبی سوخت گذرا بر حسب تغییرات خطای سرعت و مشتق آن را نشان می‌دهد. در طراحی این کنترلر فازی از موتور استنتاج مینیمم^{۱۱}، استلزم مینیمم مدادانی^{۱۲}، t -نُرم «کمینه»^{۱۳} و فازی‌زدای «مرکز سطح» استفاده شده است.

شبیه‌سازی حلقه بسته مدل موتور در حضور کنترل کننده فازی در محیط سیمولینک در شکل (۸) نشان داده شده است. همان‌گونه که در این شکل مشاهده می‌گردد، با قرار دادن تابع تبدیل مرتبه

متغیرهای بهینه‌یابی و همچنین چگونگی تعیین تابع برازش می‌باشد. در ابتدای بحث لازم است، به این نکته توجه گردد که یک سیستم فازی مبتنی بر دانش^{۱۷} را می‌توان به دو بخش تقسیم نمود:

- (۱) پایگاه داده‌ها (DB)^{۱۸} که شامل اطلاعاتی پیرامون ضرایب اصلاح^{۱۹} و پارامترهای توابع عضویت متغیرهای ورودی و خروجی کنترل کننده می‌باشد.

(۲) پایگاه قواعد (RB)^{۲۰} که شامل مجموعه‌ای از قواعد فازی می‌باشد.

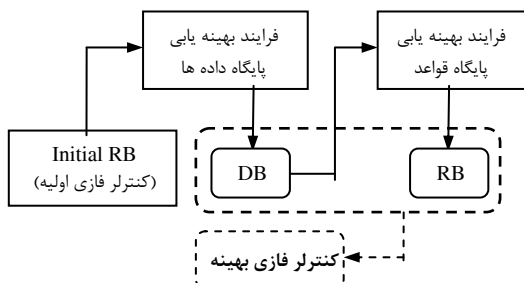
اولین گام در طراحی یک سیستم ژنتیک فازی آن است که تعیین گردد که کدام‌یک از موارد فوق باید هدف بهینه‌یابی قرار گیرد. در حالت کلی به منظور بهینه‌یابی یک کنترلر فازی، می‌توان از چهار استراتژی زیر بهره بردن:^[۱۳]

(۱) بهینه‌یابی DB به ازای RB معین

(۲) بهینه‌یابی RB به ازای DB معین

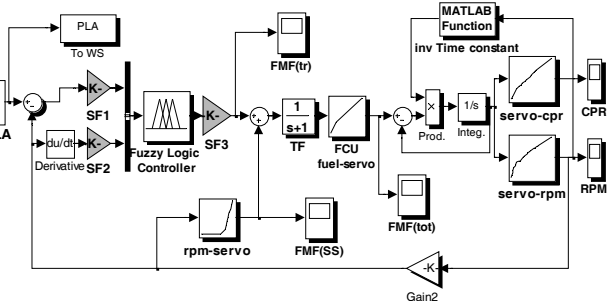
(۳) بهینه‌یابی همزمان DB و RB

(۴) بهینه‌یابی RB و DB به صورت متوالی



شکل ۹. استراتژی بهینه‌یابی (بهینه‌یابی متوالی DB و RB).

نکته حائز اهمیت آن است که در صورتی که تنها یکی از پایگاه‌های داده‌ها و قواعد بهینه شوند و دیگری به صورت تجربی تعیین گردد (موارد ۱ و ۲)، بدیهی است که از کارایی فرایند بهینه‌یابی RB کاسته خواهد شد. از طرف دیگر بهینه‌یابی همزمان DB و RB (موارد ۳) منجر به افزایش قابل توجه طول رشته‌ها می‌گردد، به گونه‌ای که انجام فرایند بهینه‌یابی با مشکل رو به رو خواهد شد. بنابراین در این مقاله به منظور حفظ کیفیت پاسخ و همچنین ممانعت از افزایش بیش از حد طول رشته‌ها، از استراتژی چهارم (بهینه‌یابی متوالی RB و DB) استفاده شده است. شکل (۹) بیانگر توالی فرایندهای بهینه‌یابی کنترلر فازی اولیه می‌باشد. همان‌گونه که در شکل مشاهده می‌شود، در مرحله نخست با به کارگیری قواعد کنترلر فازی اولیه به تعیین توابع عضویت و ضرایب اصلاح بهینه پرداخته و در مرحله دوم با بهره گیری از پارامترهای بهینه شده مرحله اول، قواعد فازی نیز بهینه می‌گردند. با به کارگیری این



شکل ۸. شبیه‌سازی حلقه بسته موتور با حضور کنترلر فازی

طراحی کنترل کننده ژنتیک - فازی

به طور کلی روش‌های متعددی جهت ترکیب سیستم‌های فازی با شیوه‌های مختلف یادگیری وجود دارد که از رایج‌ترین آنها می‌توان به سیستم‌های ژنتیک فازی اشاره نمود.^[۱۳] الگوریتم ژنتیک روشی قدرتمند برای جستجو و بهینه‌یابی از طریق بهبود تدریجی پاسخ می‌باشد که بر مبنای اصول سیر تکامل طبیعی، نخستین بار توسط هالند^[۱۴] معرفی گردید و کاربردهای عملی این الگوریتم در حل مسائل پیچیده، توسط جانگ^[۱۵] و گلدبرگ^[۱۶] ارائه شد. اگرچه تاکنون الگوریتم ژنتیک با شکل‌ها و استراتژی‌های متنوع در تحقیقات مختلف مورد استفاده واقع شده است، اما در همه موارد از سه عملگر انتخاب، ترکیب مقابله‌یابی و عملگر جهش به عنوان عملگرهای اصلی الگوریتم استفاده شده است.

در الگوریتم ژنتیک ابتدا مجموعه‌ای از رشته‌ها (کروموزوم‌ها) به صورت تصادفی از فضای جستجو انتخاب می‌شوند و جمعیت اولیه را تشکیل می‌دهند. سپس هر کروموزوم بر مبنای تابع برازش تعیین شده، ارزیابی می‌شود و در نهایت بر اساس این سنجش به هر کروموزوم ارزشی متناسب با میزان برازش آن تعلق می‌گیرد. حضور و یا عدم حضور یک کروموزوم در نسل بعد منوط به نتیجه مقایسه برازش آن کروموزوم با میانگین برازش‌های آن نسل می‌باشد. عملگر برش وظیفه ترکیب ژن‌های دو کروموزوم را دارد و عملگر جهش با ایجاد تغییرات تصادفی در ژن‌های هر کروموزوم، زمینه را برای افزایش تنوع رشته‌های یک نسل فراهم می‌آورد. بنابراین با اعمال عملگرهای ژنتیک بر جمعیت اولیه، می‌توان نسل اول را به وجود آورد. به همین ترتیب با تکرار این مراحل نسل‌های بعد نیز به وجود می‌آیند، به گونه‌ای که پاسخ سیستم با جایگزینی رشته‌های با برازش بالا به جای رشته‌های کم ارزش به صورت تدریجی بهبود می‌یابد.

مهم‌ترین عاملی که تأثیر قابل توجهی بر کیفیت پاسخ‌های به دست آمده از الگوریتم ژنتیک دارد، نحوه کدگذاری پارامترها و

ممکن است برهم کنش قواعد، عملکرد نهایی سیستم را دچار مشکل نماید. در روش آموزش قواعد با تکرار، همانند روش میشیگان هر رشته مشخصات تنها یک قاعده را در خود جای می‌دهد، اما به دلیل آن که در هر بار تکرار، تنها یک قاعده (مربوط به بهترین رشته در آن تکرار) به قواعد اولیه افزوده می‌شود، نسبت به روش میشیگان از فضای جستجوی به مراتب کوچکتری برخوردار است. اما مشکل عدمه روش IRL آن است که به منظور دستیابی به یک مجموعه کامل از قواعد، باید فرایند بهینه‌یابی چندین مرتبه تکرار شود و این امر حجم محاسباتی زیادی را در پی خواهد داشت. در روش پیتربرگ، هر رشته حاوی اطلاعات تمامی قواعد موجود در پایگاه قواعد بوده و در نتیجه برهم کشی میان رشته‌های مختلف وجود خواهد داشت. به علاوه نحوه کدگذاری در این روش نسبت به روش میشیگان و IRL از پیچیدگی کمتری برخوردار است. در نهایت با بررسی مزایا و معایب هر یک از روش‌های سه گانه فوق الذکر، در این مطالعه از روش پیتربرگ که به منظور کدگذاری پایگاه قواعد استفاده شده است.

در این مقاله برای هر قاعده یک ضریب وزنی در نظر گرفته شده است که میزان اهمیت و تاثیرگذاری آن قاعده را در پاسخ نهایی کنترل تعیین می‌نماید. با به کارگیری این نوع کدگذاری می‌توان زمینه را برای حذف قواعد غیر ضروری فراهم کرده و به نوعی تعداد قواعد فازی را نیز بهینه نمود. زیرا در صورت صفر شدن ضریب وزنی هر قاعده، آن قاعده تاثیری بر پاسخ نهایی خواهد داشت و می‌توان آن را از مجموعه قواعد حذف نمود. اهمیت و ضرورت به کارگیری این روش، به عنوان راهکاری برای حذف قواعد غیر ضروری، با افزایش توابع عضویت متغیرهای ورودی و خروجی و در نتیجه افزایش تعداد قواعد فازی، محسوس‌تر خواهد بود. همچنین در این مقاله از کدگذاری اعداد طبیعی برای الگوریتم ژنتیک استفاده شده است و همان‌گونه که در شکل (۱۰) نشان داده شده است، هر قاعده با یک عدد چهار رقمی نمایش داده می‌شود، که سه رقم اول بیانگر شماره متغیرهای زبانی مربوط به متغیرهای ورودی و خروجی کنترل فازی بوده و رقم چهارم مبین ضریب وزنی هر قاعده است. در جدول (۲) شماره مربوط به هر متغیر زبانی را می‌توان مشاهده نمود.

به عنوان نمونه قاعده ۶۵۶۷ را می‌توان به صورت زیر بیان نمود:
 «اگر تغییرات دور روتور «مثبت متوسط» و شتاب «مثبت کوچک» باشد، آن‌گاه دبی سوخت گذرا، «مثبت متوسط» با ضریب وزنی ۰/۷ است».

استراتژی علاوه بر دست‌یابی به پاسخ‌هایی با کیفیت بالا، سرعت همگرایی نیز افزایش می‌یابد.

کدگذاری ضرایب اصلاح

به طور کلی، به دلیل وابستگی میان پارامترهای توابع عضویت و ضرایب اصلاح، بهینه‌یابی آن‌ها به صورت مجزا، روش مناسبی جهت دست‌یابی به پاسخ بهینه نخواهد بود [۱۷]. بنابراین در این مقاله، تمامی پارامترهای توابع عضویت و ضرایب اصلاح در یک کروموزوم قرار داده شده است.
 ضرایب اصلاح در مقایسه با یک تابع عضویت تنها، تاثیر بسیار بیشتری بر نحوه پاسخ سیستم دارد. زیرا تاثیر ضرایب اصلاح بسیار فراگیرتر و جامع‌تر می‌باشد، به گونه‌ای که تغییر در ضریب اصلاح یک تغییر فازی بر پاسخ تمامی توابع عضویت آن متغیر تاثیرگذار خواهد بود. همان‌گونه که در شکل (۸) مشاهده می‌شود، سه ضریب اصلاح برای متغیرهای ورودی و خروجی کنترل فازی در نظر گرفته شده است.

کدگذاری پارامترهای توابع عضویت

همان‌گونه که پیش‌تر بیان شد، به منظور کاهاش پیچیدگی فضای جستجو، باید تا حد امکان پارامترهای بهینه‌یابی کاهاش داده شود. به همین جهت با توجه به اینکه توابع عضویت گاوسی شکل تنها دارای دو پارامتر بهینه‌یابی هستند، بنابراین از این نوع توابع عضویت برای متغیرهای ورودی و خروجی کنترل فازی استفاده شده است. اگرچه بهینه‌یابی تمامی پارامترهای توابع عضویت به صورت همزمان و قراردادن آنها در یک کروموزوم می‌تواند تا حدی باعث افزایش طول هر کروموزوم شود، اما در مقابل دقت پاسخ به طور قابل ملاحظه‌ای افزایش خواهد یافت.

کدگذاری پایگاه قواعد

به طور کلی سه روش متدالوی برای کدگذاری پایگاه قواعد فازی با به کارگیری الگوریتم ژنتیک وجود دارد:

- روش میشیگان^{۱۸} [۱۸]؛
- روش آموزش قواعد با تکرار (IRL)^{۱۹} [۱۹]؛
- روش پیتربرگ^{۲۰} [۲۰]؛

در روش میشیگان هر رشته (کروموزوم) حاوی اطلاعاتی در مورد تنها یک قاعده بوده و در نتیجه تصمیم نهایی سیستم، از تاثیر متقابل رشته‌های تشکیل‌دهنده پایگاه قواعد حاصل می‌شود. با توجه به اینکه در این روش، هر قاعده به صورت فردی ارزیابی می‌شود،

مهم دیگری که از طراحی این کنترلر مدنظر است، کاهش میزان مصرف سوخت ورودی به محفظه احتراق موتور می‌باشد. معمولاً شاخص عملکردی یک سیستم از ترکیب وزن دار شده مشخصه‌های عملکردی آن سیستم به دست می‌آید. بنابراین با توجه به مشخصه‌هایی که پیش تر بر شمردیم، شاخص عملکردی را می‌توان به صورت زیر تعریف نمود:

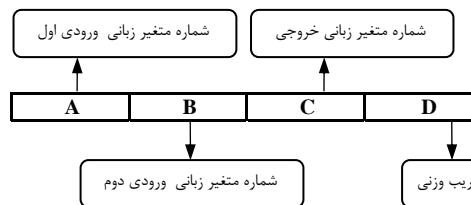
$$J = \frac{1}{w_1 + w_2 + w_3 + w_4} \left\{ w_1 \int_0^T \frac{|N_{des} - N_{ss}|}{\{N_{des} - N_{ss}\}_{max}} dt + w_2 \int_0^T \frac{\dot{m}_f}{\{\dot{m}_f\}_{max}} dt + \right. \\ \left. w_3 \int_0^T \frac{|N_{des} - N(t)|}{\{N_{des} - N(t)\}_{max}} dt + w_4 \int_0^T \frac{|N_{max(min)} - N_{des}|}{\{N_{max(min)} - N_{des}\}_{max}} dt \right\} \quad (1)$$

که در رابطه فوق $N(t)$ سرعت روتور در ثانیه t ، N_{des} سرعت مطلوب، N_{ss} سرعت روتور در حالت پایا، \dot{m}_f دبی سوخت ورودی به محفظه احتراق و T زمان شبیه سازی می‌باشد. همچنین N_{max} به ترتیب حداکثر سرعت در حالت شتابگیری و حداقل سرعت در حالت افت شتاب بوده و w_1 تا w_4 ضرایب وزنی می‌باشند. همان‌گونه که در رابطه (۱) مشاهده می‌شود، هر کدام از مشخصه‌های عملکردی سیستم، ابتدا نرمالیزه شده و سپس بر اساس اهمیتی که طراح برای آن‌ها قائل است، وزن دار می‌گردد.

تحلیل نتایج

پس از کدگذاری پارامترهای کنترلر فازی، فرایند بهینه‌یابی در دو مرحله با به کارگیری عملکردهای «برش» با احتمال $0/8$ و «جهش» با احتمال $0/2$ و همچنین با بهره‌گیری از عملکر «انتخاب» به شیوه چرخ رولت^۵ صورت پذیرفت. شکل‌های (۱۱) و (۱۲) روند همگرایی تابع برآذش در مراحل اول و دوم بهینه‌یابی را نشان می‌دهد. با توجه به اینکه در مرحله دوم بهینه‌یابی از ضرایب اصلاح و پارامترهای توابع عضویت بهینه شده (در مرحله اول)، استفاده شده است، لذا سرعت همگرایی تابع برآذش در این مرحله افزایش یافته است.

شکل‌های (۱۳-۱۵) توابع عضویت مربوط به متغیرهای ورودی و خروجی کنترلر فازی بهینه شده را نشان می‌دهد. همچنین در جدول (۳) مقادیر ضرایب اصلاح برای متغیرهای ورودی و خروجی کنترلر سوخت گذرا، در شرایط قبل و پس از بهینه‌یابی نشان داده شده است. شکل (۱۶) نیز منحنی تغییرات دبی سوخت گذرا بر حسب تغییرات خطای سرعت و مشتق آن برای کنترلر فازی بهینه را نشان می‌دهد. همچنین قواعد فازی بهینه و ضرایب وزنی مربوط به هر قاعده در جدول (۴) مشاهده می‌شود.



شکل ۱۰. کدگذاری هر قاعده فازی به صورت یک عدد چهار رقمی.

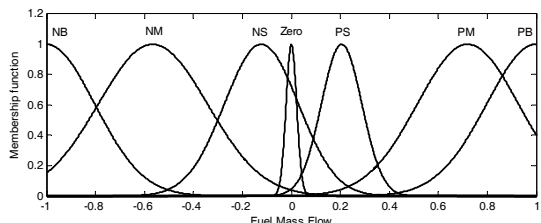
جدول ۲. شماره گذاری متغیرهای زبانی.

متغیرهای زبانی	NB	NM	NS	Z	PS	PM	PB
شماره	۱	۲	۳	۴	۵	۶	۷

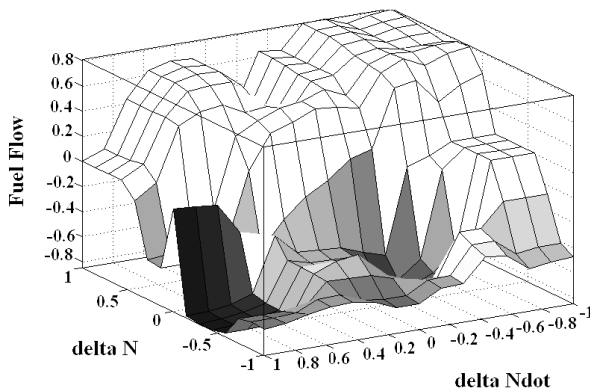
معمولأً در بهینه‌یابی پایگاه قواعد فازی به دو فاکتور «دقت» و «تفسیر پذیری» قواعد توجه می‌شود. مهم‌ترین معیار سنجش تفسیر پذیری پایگاه قواعد فازی عبارت است از: «فسردگی» که با تعداد قواعد فازی سنجیده می‌شود و «садگی قواعد» که بر مبنای تعداد متغیرهای ورودی به کار رفته در هر قاعده، تعیین می‌گردد. همان‌گونه که پیش تر بیان شد، به کارگیری ضریب وزنی برای هر قاعده می‌تواند تعداد قواعد موثر را کاهش داده و در نتیجه میزان تفسیر پذیری پایگاه قواعد را افزایش دهد. همچنین علاوه بر شماره‌های تعیین شده مربوط به هر متغیر زبانی جدول (۲)، شماره «صفر» برای متغیرهای ورودی به معنی حذف آن متغیرها از قاعده مورد نظر می‌باشد که این عمل باعث سادگی آن قاعده و در نتیجه افزایش میزان تفسیر پذیری پایگاه قواعد می‌گردد.

تعریف تابع برآذش

همان‌گونه که پیش تر بیان شد، شایستگی حضور هر کروموزوم در نسل بعد، با ارزیابی آن کروموزوم بر مبنای یک تابع برآذش تعیین می‌گردد که تعریف این تابع برآذش وابسته به هدف طراحی کنترلر می‌باشد. در این مقاله یکی از اهداف اصلی طراحی کنترلر، بهبود پاسخ زمانی سیستم می‌باشد. کاهش خطای ماندگار سیستم، کاهش میزان فرجهش‌ها و فروجهش‌ها و همچنین دست‌یابی به زمان خیزش^۶ مناسب از عوامل تاثیرگذار در بهبود پاسخ سیستم می‌باشد. به عبارت دیگر باید پارامترهای سیستم فازی به گونه‌ای تنظیم گردد که سیستم در کوتاه‌ترین زمان ممکن به مقدار مطلوب دست‌یافته و در عین حال مقادیر فرجهش، فروجهش و خطای ماندگار سیستم نیز تا حد امکان کاهش یابد. در این مقاله به منظور دست‌یابی به زمان خیزش مناسب، از انتگرال قدر مطلق خطای سرعت (اختلاف میان سرعت واقعی و مطلوب) به عنوان یکی از مشخصه‌های عملکردی سیستم استفاده شده است. همچنین هدف



شکل ۱۵. توابع عضویت برای خروجی کنترلر ژنتیک فازی (m_f)



شکل ۱۶. دبی سوخت گذرا بر حسب خطای سرعت روتور و مشتق آن (کنترلر فازی بهینه)

جدول ۳. مقادیر ضرایب اصلاح - قبل و پس از بهینه‌بایی

k_3	k_2	k_1	نوع کنترلر
۱	۱	۱	کنترلر فازی اولیه
.۰/۷۱	۶/۷۳	۲/۹۴	کنترلر ژنتیک فازی

جدول ۴. جدول قواعد کنترل کننده فازی بهینه

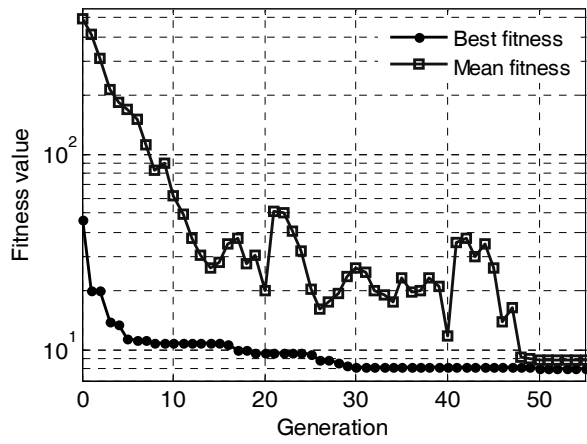
$\Delta N \diagdown \Delta \dot{N}$	Z	PS	PM	PB	NS	NM	NB
Z	Z (۱)	-	PM (.۹/۹)	Z (.۹/۹) NS (.۹/۹)	Z (.۹/۹)	-	NB (.۹/۹)
PS	NS (.۹/۹)	-	PS (.۹/۹) PM (.۹/۹)	-	NM (.۹/۹)	Z (.۹/۹)	NB (.۹/۹)
PM	NM (.۹/۹)	-	Z (.۹/۹)	PM (.۹/۹)	-	-	-
NB	NB (.۹/۹)	NM (.۹/۹)	-	Z (.۹/۹)	NB (.۹/۹)	NB (.۹/۹)	-
NS	PS (.۹/۹)	PS (.۹/۹)	PM (.۹/۹)	PM (.۹/۹)	-	NB (.۹/۹)	-
NM	PM (.۹/۹)	PB (.۹/۹)	-	PB (.۹/۹)	-	-	NS (.۹/۸)
PB	PB (.۹/۹)	PB (.۹/۹)	-	PB (.۹/۹)	-	PS (.۹/۹)	Z (.۹/۹)

نتایج شبیه سازی نشان می‌دهد که کنترلر ژنتیک فازی طراحی شده در مقایسه با کنترلر فازی اولیه در تمامی مشخصه‌های عملکردی دارای برتری قابل توجهی است. در جدول (۵) مشخصه‌های عملکردی سیستم در حالات مختلف نشان داده شده است.

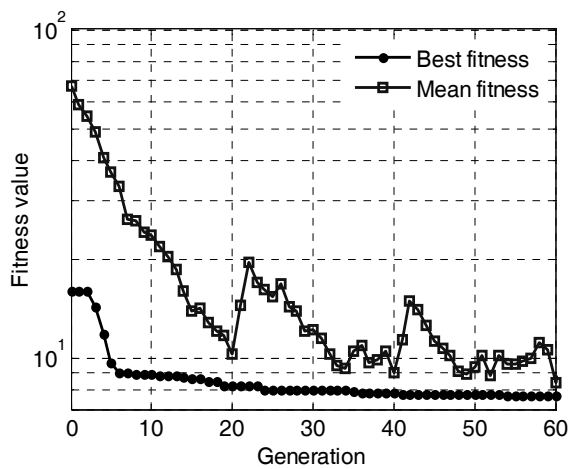
جدول ۵. مقادیر مشخصه‌های عملکردی سیستم

	کنترلر ژنتیک فازی	کنترلر فازی اولیه	بدون کنترلر گذرا	بهبود میزان مصرف سوخت نسبت به کنترلر فازی اولیه (%)
۱/۲۶۶۹	-	-	-۳/۴۰۸۸	-
۵/۵۳۸۹	۹/۶۸۷۹	۱۲/۷۷۹۲	-	انگرال قدر مطلق خطای سرعت (%)
۰/۵۷۷۹	۰/۸۹۳۱	۱۲/۳۱۲۰	-	خطای حالت ماندگار (%)
۰/۴۴۵۴	۱/۳۶۱۶	۹/۵۵۹۳	-	مجموع فراجهش و فروجهش ها (%)

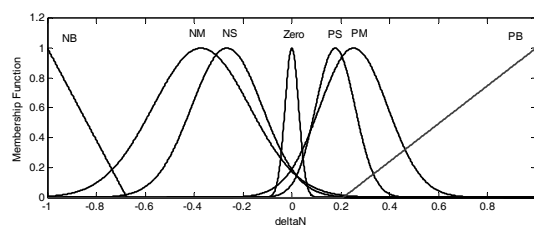
با به کار گیری روش پیشنهاد شده جهت کاهش تعداد قواعد فازی، تعداد این قواعد از ۴۹ به ۳۶ کاهش یافته است (در حدود ۳۰٪) که مقدار قابل ملاحظه‌ای است و این میزان کاهش در تعداد قواعد، می‌تواند نقش بسزایی در افزایش تفسیرپذیری کنترل کننده فازی ایفا نماید.



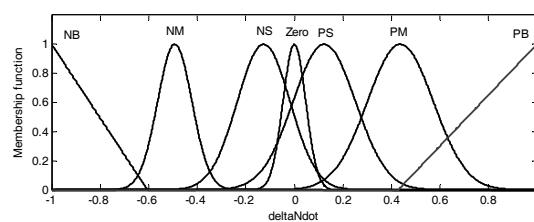
شکل ۱۱. روند همگرایی الگوریتم ژنتیک - مرحله اول



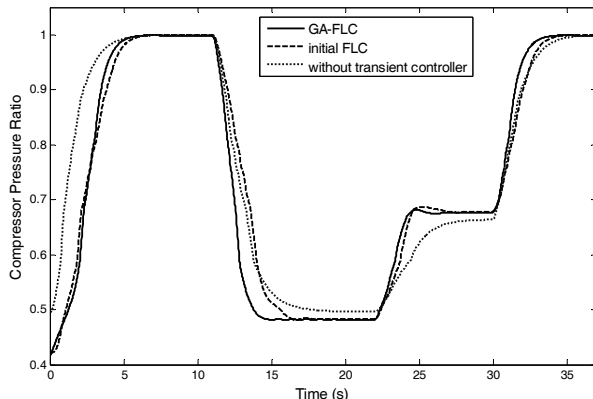
شکل ۱۲. روند همگرایی الگوریتم ژنتیک - مرحله دوم



شکل ۱۳. توابع عضویت برای ورودی اول کنترلر ژنتیک فازی (ΔN)



شکل ۱۴. توابع عضویت برای ورودی دوم کنترلر ژنتیک فازی ($\Delta \dot{N}$)



شکل ۱۹. نسبت فشار کمپرسور بر حسب زمان

نتیجه‌گیری

در این مقاله با به کار گیری الگوریتم ژنتیک به طراحی کنترلر ژنتیک فازی برای تنظیم سوخت موتور توربوجت پرداخته شد. در گام اول، مدلی با ساختار بلوکی جهت شبیه‌سازی عملکرد موتور توربوجت پیشنهاد شد که به طور چشمگیری زمان مورد نیاز برای شبیه‌سازی را کاهش داد. مقایسه نتایج حاصل از مدل ارائه شده و نتایج به دست آمده از تست موتور حاکی از اختلاف اندک و قابل قبول میان آن دو می‌باشد. در مرحله دوم کنترلر فازی اولیه‌ای بر مبنای تجربیات و شناخت نسبت به عملکرد موتور ارائه شد که از آن به عنوان جمعیت اولیه به منظور افزایش سرعت همگرایی الگوریتم ژنتیک استفاده گردید. در مرحله سوم با به کار گیری الگوریتم ژنتیک به عنوان روشی قادرمند در جستجو و با هدف کاهش میزان مصرف سوخت و بهبود مشخصه‌های عملکردی سیستم، کنترلر فازی اولیه بهینه گردید. نتایج شبیه‌سازی حاکی از آن است که میزان مصرف سوخت و سایر مشخصات عملکردی سیستم با به کار گیری کنترلر ژنتیک فازی بهبود قابل ملاحظه‌ای داشته است.

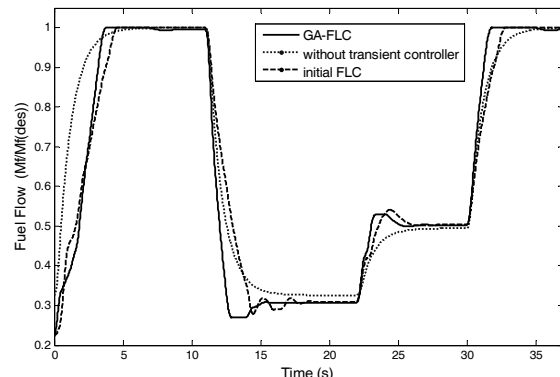
پی‌نوشت

1. Wiener
2. Smooth
3. Proportional-Integral (PI)
4. Watanabe
5. Proportional-Integral-Derivative (PID)
6. Jie
7. Flame out
8. Tuning
9. Soft Computing
10. Proportional-Derivative (PD)
11. Lookup Table
12. Minimum Inference Engine

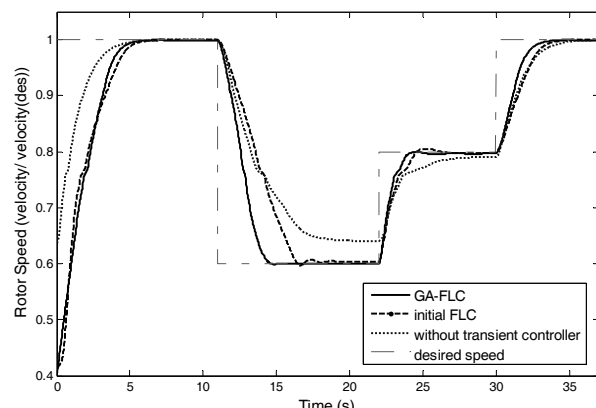
معمولًا با کاهش زمان خیزش در یک سیستم، مقدار فراجهش در پاسخ آن سیستم افزایش می‌یابد و طراحی کنترلری که بتواند میزان فراجهش و زمان خیزش را همزمان کاهش دهد، با تنظیم دستی پارامترهای کنترلر فازی و بدون استفاده از یک الگوریتم بهینه‌یابی قادرمند، بسیار دشوار و طاقت فرسا خواهد بود.

شکل (۱۷) دبی سوخت ورودی به محفظه احتراق (مجموع دبی سوخت پایا و گذر) را نشان می‌دهد. همچنین تغییرات سرعت روتور توربین و نسبت فشار کمپرسور در حالت‌های بدون کنترلر، با کنترلر فازی اولیه و بالاخره با حضور کنترلر فازی بهینه شده، در شکل‌های (۱۸) و (۱۹) نشان داده شده است.

همان گونه که در شکل‌های (۱۷-۱۹) مشاهده می‌شود، با به کار گیری کنترلر ژنتیک فازی، سیستم سوخت‌رسانی واکنش بسیار سریعی به تغییرات فرمان دسته گاز می‌دهد و در عین حال مانع از فرارفت سرعت روتور و نسبت فشار کمپرسور از حداقلر مقدار مجاز می‌شود. بنابراین عملکرد کنترلر طراحی شده به گونه‌ای است که به طور قابل ملاحظه‌ای قدرت مانور هوایپما و توانایی ردیابی خطای سرعت را افزایش داده و مصرف سوخت و سایر پارامترهای عملکردی سیستم را نیز در وضعیت مطلوبی قرار می‌دهد.



شکل ۱۷. دبی سوخت ورودی به محفظه احتراق بر حسب زمان



شکل ۱۸. سرعت روتور توربین بر حسب زمان

- based Fuzzy Infrence System, *IEEE transactions on Systems, Man and Cybernetics*, 23(3):665-685.
10. Kulikov, Gennady G. Thompson, Haydn A. 2004. *Dynamic Modeling of Gas Turbines*, Published by Springer.
 11. Gold, H., and S. Rosenzweig. 1952. A method for estimating speed response of gas-turbine engines, *National Advisory Committee for Aeronautics*.
 12. Cohen, H., Rogers G. F. C, and Saravanamuttoo H. I. H. 1996. *Gas turbine theory*, printed by T. J. press padstow cornwall, 4th edition.
 13. Cordon, O., F. Gomide, F. Herrera, F. Hoffmann, and L. Magdalena. 2004. Ten years of genetic fuzzy systems: current framework and new trends, *Fuzzy Sets and Systems*.
 14. Holland, John H. 1975. *Adaptation in Natural and Artificial Systems*, the University of Michigan Press.
 15. De Jong, Kenneth. A. 1975. An Analysis of the Behavior of a Class of Genetic Adaptive Systems, PhD dissertation, University of Michigan.
 16. Goldberg, D.E. 1989. *Genetic Algorithms in Search, Optimization and Machine Learning*, Addison-Wesley.
 17. Cai, L., A. B. Rad, and W. L. Chan. 2007. A Genetic Fuzzy Controller for Vehicle Automatic Steering Control, *IEEE transactions on vehicular technology* 56 (2).
 18. Holland, J. H., and J. S. Reitman. 1978. Cognitive systems based on adaptive algorithms, *Pattern-Directed Inference Systems*, Academic Press, New York.
 19. Venturini, Gilles. 1993. A supervised inductive algorithm with genetic search for learning attribute based concepts, In Proc. European Conference on Machine Learning, Vienna.
 20. Smith, S. F. 1980. A learning system based on genetic adaptive algorithms, PhD dissertation, Department of Computer Science, University of Pittsburgh.
 21. Akenak, A., M. Chadli, J. Ragot, and D. Maquin. 2007. Multiple Model Approach Modeling: Application to a Turbojet Engine, *Journal of Engineering and Applied Sciences*.
 22. Montazeri-Gh, M. and M. Safarabadi. 2004. Application of fuzzy logic in the design of Turbojet Engine Fuel Control system, 5th Iranian Conference in Fuzzy Systems.
 23. Montazeri-Gh, M. and M. Safarabadi. 2004. Fuzzy-Based Gas Turbine Fuel Control System, CDIC04, China.
 13. Mamdani minimum implication
 14. Min
 15. Holland
 16. Jong
 17. Goldberg
 18. Knowledge Base
 19. Data Base (DB)
 20. Scaling Factor
 21. Rule Base (RB)
 22. Michigan
 23. Iterative Rule Learning (IRL)
 24. Pittsburgh
 25. Rise Time
 26. Roulette Wheel

مراجع

1. Mattingly. Jack D., William H. Heiser, and David T. Pratt. 2002. *Aircraft Engine Design*, Published by American Institute of Aeronautics and Astronautics, Inc, Second Edition.
2. Zilouchian, A., M. Juliano, T. Healy, and J. Davis. 2000. Design of a fuzzy logic controller for a jet engine fuel system, *Control Engineering Practice* 8, pp. 873-883.
3. Watanabe, A., S. M. Olçmen, R. P. Leland, K. W. Whitaker, L. C. Trevino, and C. Nott. 2006. Soft computing applications on a SR-30 turbojet engine, *Fuzzy Sets and Systems* 157, pp. 3007 – 3024.
4. Jie M. S., E. J. Mo, and K. W. Lee. 2007. Fuzzy PI Controller for Turbojet Engine of Unmanned Aircraft, *Hankuk Aviation University, 200-1, Springer-Verlag Berlin Heidelberg*.
5. Karr, Charles L. 1991. Design of and adaptive fuzzy logic controller using a genetic algorithm, In Proc. of the 4th International Conference on Genetic Algorithms, San Diego, 13.-16., pp. 450–457.
6. Kinzel, J, F. Klawoon, and R. Kruse. 1994. Modifications of genetic algorithms for designing and optimizing fuzzy controllers, In Proc. 1st IEEE Conference on Evolutionary Computation, Orlando, USA, pp. 28-33.
7. Bonissone, P. P., P. S. Khedkar, and Y. Chen. 1996. Genetic algorithms for automated tuning of fuzzy controllers: A transportation application, In Proc. 5th IEEE International Conference on Fuzzy Systems (FUZZ-IEEE'96), New Orleans, USA, pp. 674-680.
8. Lee, S. C. and E. T. Lee. 1974. Fuzzy Sets and Neural Networks, *Journal of Cybernetics*, 4(2):83-103.
9. Jang, J-S. Roger. 1993. ANFIS: Adaptive Network-